



贾志刚

特征和图像识别工程案例实践



主要内容

- 数据预处理与特征工程
- 训练模型与调优
- 模型导出与使用
- 案例-猫狗大战

数据预处理与特征工程

- 数据增强与标注
- 数据处理
- 特征工程

图像数据增强与标注

- 图像翻转
- 图像平移
- 图像crop
- 透视变换
- Gabor变换
- 图像数据标注

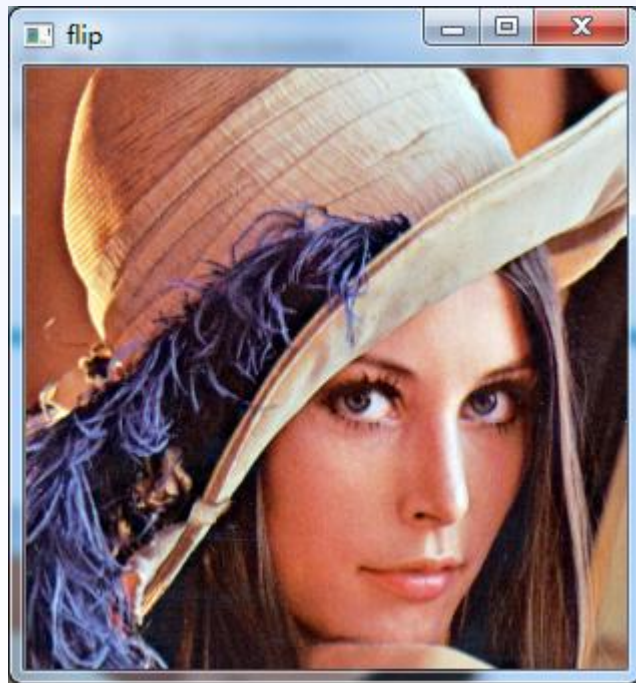
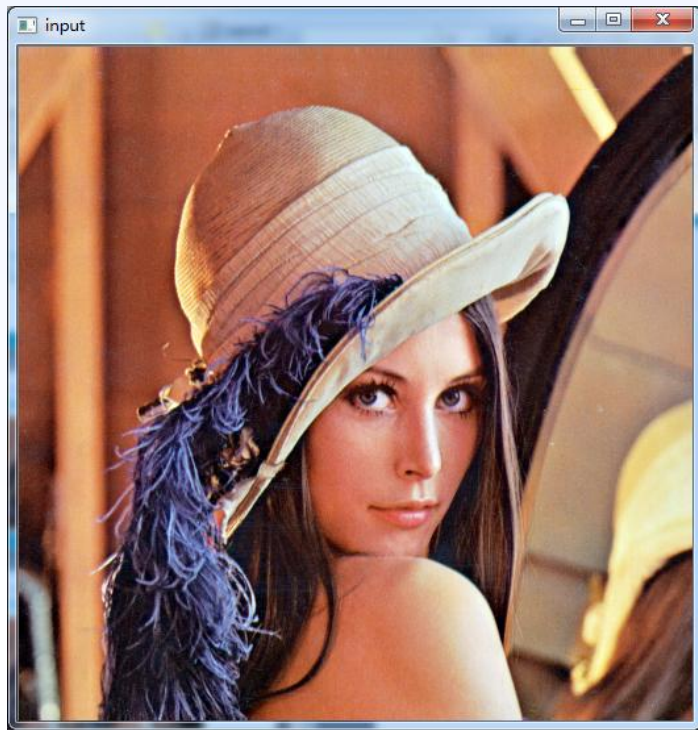
图像翻转



图像平移



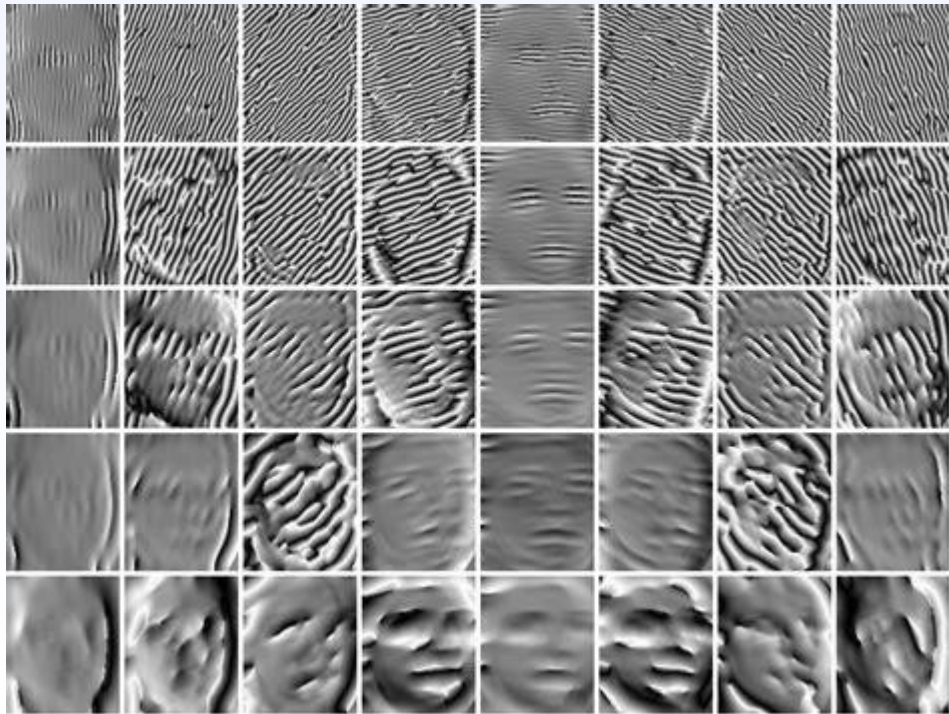
图像crop



透视变换



Gabor 变换



更多图像数据增强方法

- 亮度调整
- 对比度调整
- 饱和度调整
- 图像采样插值放缩
- 色彩空间转换
- Gamma校正

数据标注

- 人工打码平台
- 自动标注技术
- 手工标注工具
- <https://github.com/tzutalin/labelImg>
- PASCAL VOC2012格式

VOCdevkit

VOC2012

Annotations

全部的xml文件

ImageSets

Action

Layout

Main

train.txt文件

Segmentation

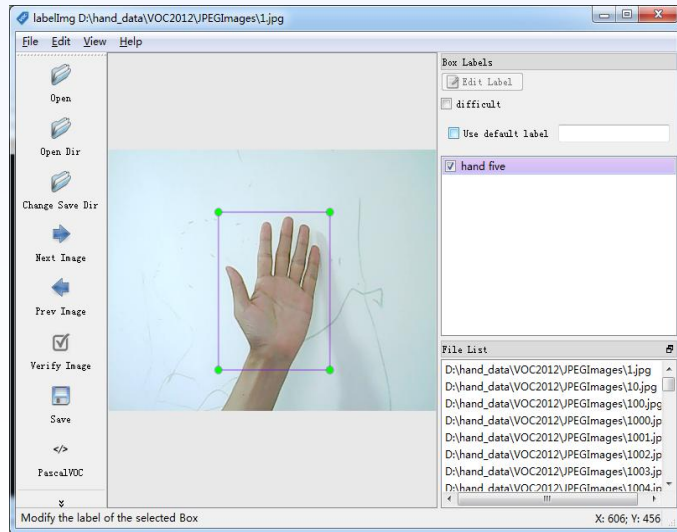
JPEGImages

全部的图像文件

SegmentationClass

SegmentationObject

PASCAL VOC2012数据格式



数据预处理与初始化

- 归一化
- 标准化
- 正则化

数据归一化

```
2  NORM_L1 - L1归一化, 依据和为1
3  // Norm to probability (total count)
4  // sum(numbers) = 20.0
5  // 2.0      0.1      (2.0/20.0)
6  // 8.0      0.4      (8.0/20.0)
7  // 10.0     0.5      (10.0/20.0)
8
9  NORM_L2 , 单位向量为1
10 // Norm to unit vector: ||positiveData|| = 1.0
11 // 2.0      0.15
12 // 8.0      0.62
13 // 10.0     0.77
14
15 NORM_INF, 根据最大值
16 // Norm to max element
17 // 2.0      0.2      (2.0/10.0)
18 // 8.0      0.8      (8.0/10.0)
19 // 10.0     1.0      (10.0/10.0)
20
21 NORM_MINMAX, 根据delta = max-min
22 // Norm to range [0.0;1.0]
23 // 2.0      0.0      (shift to left border)
24 // 8.0      0.75     (6.0/8.0)
25 // 10.0     1.0      (shift to right border)
```

$$norm = \frac{x_i - \min(x)}{\max(x) - \min(x)}$$

其中 x_i 表示图像像素点值, $\min(x), \max(x)$

分别表示图像像素的最大与最小值

数据归一化

```
8  # 转换为浮点数类型数组
9  gray = cv.cvtColor(src, cv.COLOR_BGR2GRAY)
10 gray = np.float32(gray)
11 print(gray)
12
13 # scale and shift by NORM_MINMAX
14 dst = np.zeros(gray.shape, dtype=np.float32)
15 cv.normalize(gray, dst=dst, alpha=0, beta=1.0, norm_type=cv.NORM_MINMAX)
16 print(dst)
17 cv.imshow("NORM_MINMAX", np.uint8(dst*255))
18
19 # scale and shift by NORM_INF
20 dst = np.zeros(gray.shape, dtype=np.float32)
21 cv.normalize(gray, dst=dst, alpha=1.0, beta=0, norm_type=cv.NORM_INF)
22 print(dst)
23 cv.imshow("NORM_INF", np.uint8(dst*255))
```

标准化

$$\text{image_standardization} = \frac{X - \mu}{\text{adjusted_stddev}}$$
其中 μ 是图像的均值， X 表示图像矩阵

其中，

$$\text{adjusted_stddev} = \max(\sigma, \frac{1.0}{\sqrt{N}})$$
， σ 表示标准方差、 N 表示图像 X 的像素数目



正则化

$$\min_{\mathbf{w}} \quad \frac{1}{n} \sum_{i=1}^n \ell(y, f_{\mathbf{w}}(x)) + \lambda \text{count}\{w_j \neq 0\}$$

L0正则化

$$\min_{\mathbf{w}} \quad \frac{1}{n} \sum_{i=1}^n \ell(y, f_{\mathbf{w}}(x)) + \lambda |\mathbf{w}|_1$$

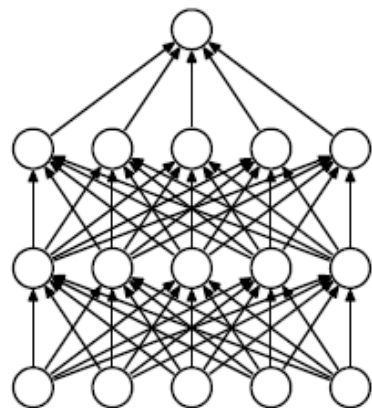
L1正则化

$$\min_{\mathbf{w}} \quad \frac{1}{n} \sum_{i=1}^n \ell(y, f_{\mathbf{w}}(x)) + \lambda \|\mathbf{w}\|_2$$

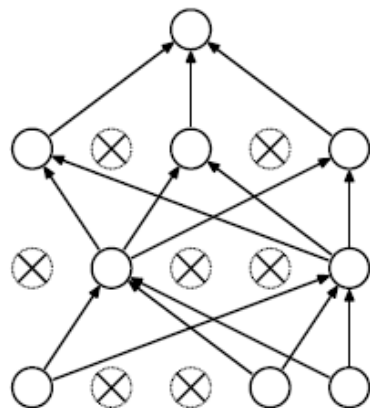
L2正则化

dropout正则化

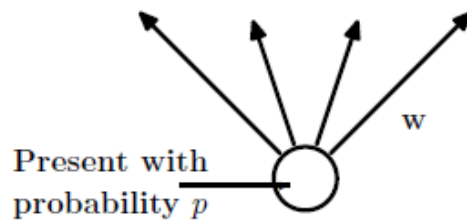
- 神经网络（多层感知器MLP）
- dropout



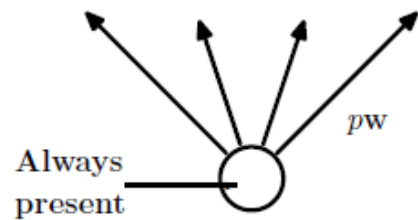
标准神经网络



带dropout的神经网络



部分节点权重训练



全部节点参与测试，前向网络

作用：防止过拟合，增加了神经网络的训练层数

特征工程

- 原始特征
 - 图像像素、轮廓、纹理等
 - 信号采样、光谱
 - 时间序列
 - 生物数据-DNA、Marker、Gene
 - 文本数据-词组、语法、关系
- 组合特征
 - 线性特征组合

特征工程

- Hessian矩阵与角点检测
- SIFT/SURF图像特征检测不变性问题
- 自动特征提取

Hessian矩阵求解

高斯模糊与高斯梯度求解

$$G(x, y, \sigma) = \frac{1}{2\pi\sigma^2} e^{-\frac{(x^2+y^2)}{2\sigma^2}}$$

X方向偏导数 G_x

$$\frac{\partial G(x, y, \sigma)}{\partial x} = -\frac{x}{2\pi\sigma^4} e^{-\frac{(x^2+y^2)}{2\sigma^2}}$$

G_{xx} --

$$\frac{\partial^2 G(x, y, \sigma)}{\partial^2 x} = \left(-1 + \frac{x^2}{\sigma^2}\right) \frac{e^{-\frac{(x^2+y^2)}{2\sigma^2}}}{2\pi\sigma^4}$$

G_{yy} --

$$\frac{\partial^2 G(x, y, \sigma)}{\partial^2 y} = \left(-1 + \frac{y^2}{\sigma^2}\right) \frac{e^{-\frac{(x^2+y^2)}{2\sigma^2}}}{2\pi\sigma^4}$$

G_{xy} --

$$\frac{\partial^2 G(x, y, \sigma)}{\partial xy} = \frac{xy}{2\pi\sigma^6} e^{-\frac{(x^2+y^2)}{2\sigma^2}}$$

Hessian矩阵求解

Hessian求解需要计算图像的二阶偏导数 D_{xx} D_{xy} D_{yy}
基于高斯核计算

$$H = \begin{bmatrix} D_{xx} & D_{xy} \\ D_{xy} & D_{yy} \end{bmatrix}$$

· $f(x, y) = x^3 - 2xy - y^6$ at the point $(1, 2)$:

$$f_x(x, y) = \frac{\partial}{\partial x}(x^3 - 2xy - y^6) = 3x^2 - 2y$$

$$f_y(x, y) = \frac{\partial}{\partial y}(x^3 - 2xy - y^6) = -2x - 6y^5$$

Hessian矩阵求解

$$f_{xx}(x, y) = \frac{\partial}{\partial x}(3x^2 - 2y) = 6x$$

$$f_{xy}(x, y) = \frac{\partial}{\partial y}(3x^2 - 2y) = -2$$

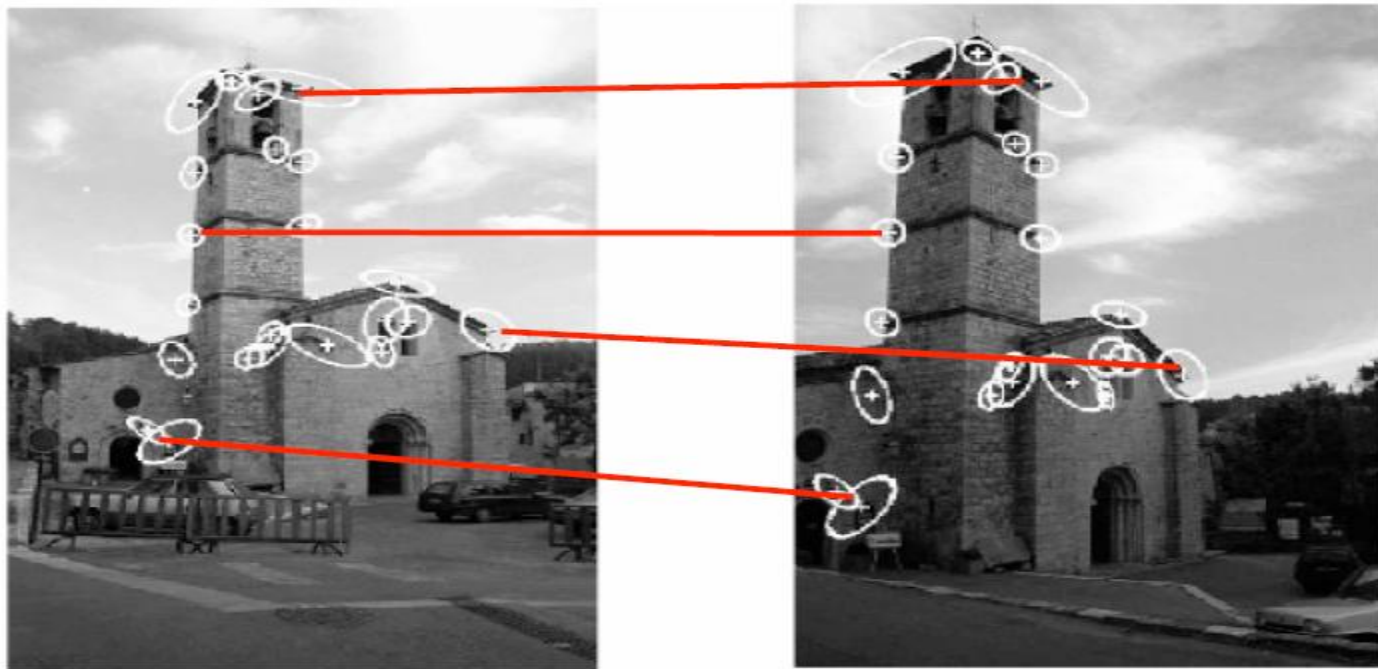
$$f_{yx}(x, y) = \frac{\partial}{\partial x}(-2x - 6y^5) = -2$$

$$f_{yy}(x, y) = \frac{\partial}{\partial y}(-2x - 6y^5) = -30y^4$$

$$\mathbf{H}f(x, y) = \begin{bmatrix} f_{xx}(x, y) & f_{xy}(x, y) \\ f_{yx}(x, y) & f_{yy}(x, y) \end{bmatrix} = \begin{bmatrix} 6x & -2 \\ -2 & -30y^4 \end{bmatrix}$$

$$\mathbf{H}f(1, 2) = \begin{bmatrix} 6(1) & -2 \\ -2 & -30(2)^4 \end{bmatrix} = \begin{bmatrix} 6 & -2 \\ -2 & -480 \end{bmatrix}$$

Harris角点检测器



Harris角点检测器

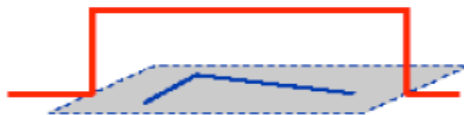
$$E(u, v) = \sum_{x, y} w(x, y) [I(x+u, y+v) - I(x, y)]^2$$

Window
function

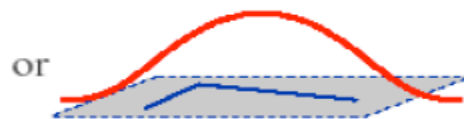
Shifted
intensity

Intensity

Window function $w(x, y) =$

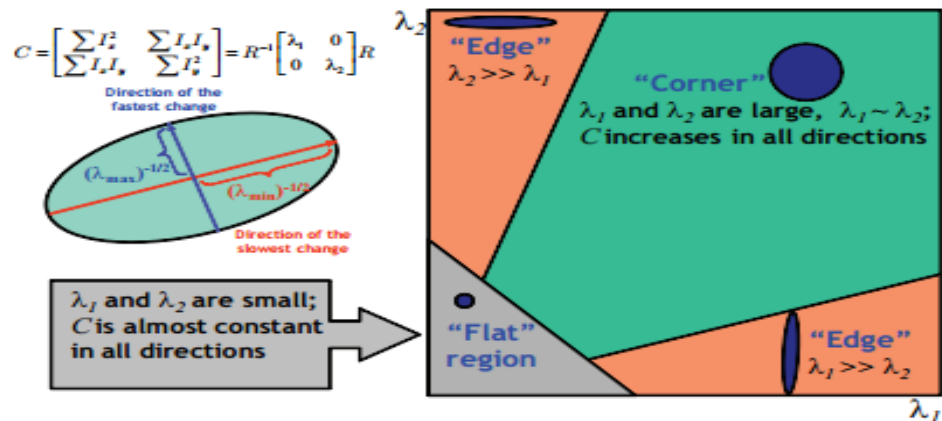


1 in window, 0 outside



Gaussian

图像Hessian特征



$$R = \det M - k (\text{trace } M)^2$$

$$\det M = \lambda_1 \lambda_2$$

$$\text{trace } M = \lambda_1 + \lambda_2$$

$$k = 0.04 \sim 0.06$$

Harris角点检测器

矩阵的特征值与特征向量

$$A = \begin{bmatrix} 3 & 6 & -8 \\ 0 & 0 & 6 \\ 0 & 0 & 2 \end{bmatrix}, \quad \det(A - \lambda I).$$

$$A - \lambda I = \begin{bmatrix} 3 & 6 & -8 \\ 0 & 0 & 6 \\ 0 & 0 & 2 \end{bmatrix} - \begin{bmatrix} \lambda & 0 & 0 \\ 0 & \lambda & 0 \\ 0 & 0 & \lambda \end{bmatrix} = \begin{bmatrix} 3 - \lambda & 6 & -8 \\ 0 & -\lambda & 6 \\ 0 & 0 & 2 - \lambda \end{bmatrix}$$

$$\begin{aligned} \det(A - \lambda I) &= (3 - \lambda)(-\lambda)(2 - \lambda) + (6)(6)(0) + (-8)(0)(0) \\ &\quad - (0)(-\lambda)(-8) - (0)(6)(3 - \lambda) - (-\lambda)(0)(6) \\ &= -\lambda(3 - \lambda)(2 - \lambda) \end{aligned}$$

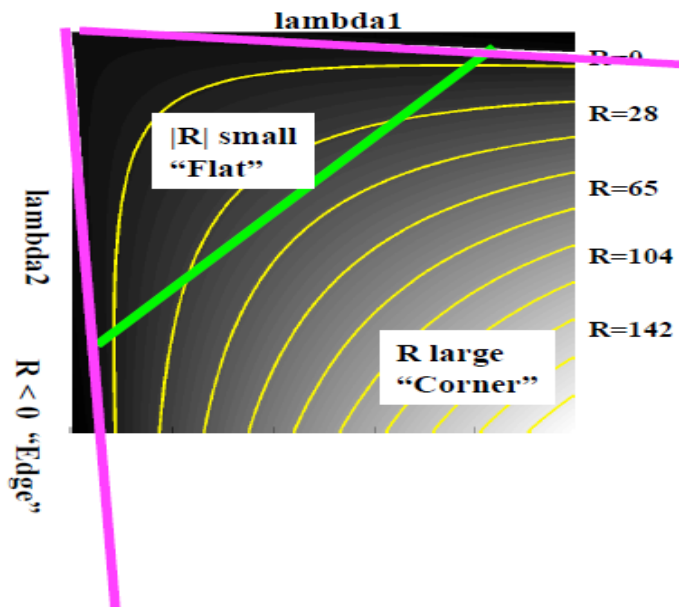
特征值有三个 $\lambda = 0, 2, \text{ or } 3$

Eigenvalues of the Hessian matrix and image structure orientation (L low, H+ high positive, H- high negative)

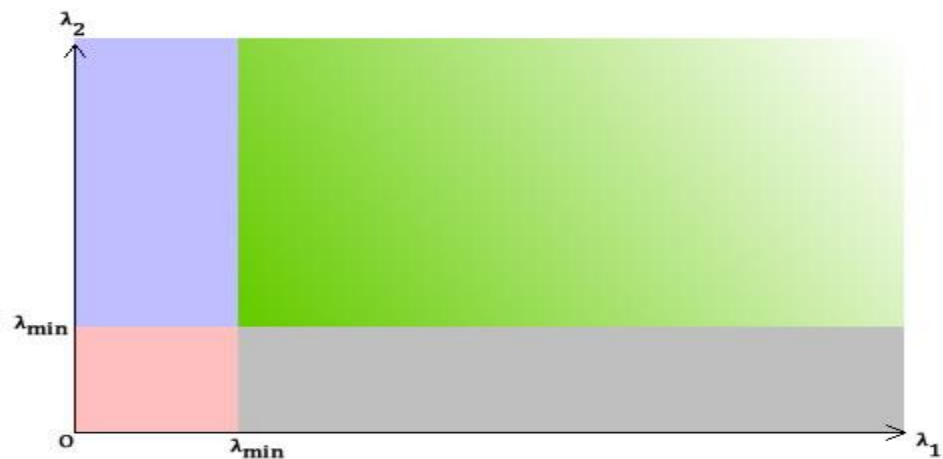
λ_1	λ_2	λ_3	structure orientation
L	L	L	noise (no preferred structure)
L	L	H-	bright sheet-like structure
L	L	H+	dark sheet-like structure
L	H-	H-	bright tubular structure
L	H+	H+	dark tubular structure
H-	H-	H-	bright blob-like structure
H+	H+	H+	dark blob-like structure

Harris角点检测器

$R < 0$ "Edge"



Shi-Tomas 角点检测



$$R = \min(\lambda_1, \lambda_2)$$

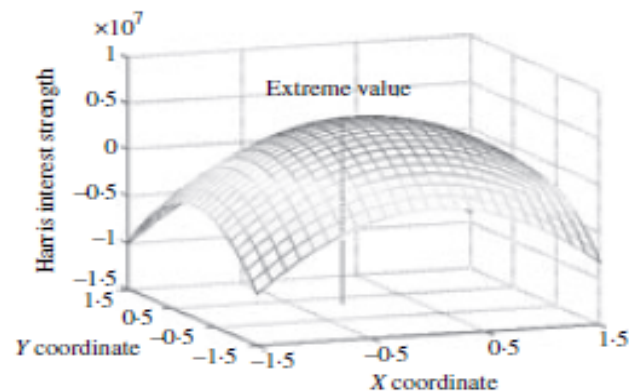
亚像素级别角点检测



(a)

216244	696907	1495135
397338	4043951	1095007
167681	1211299	1246681

(b)



(c)

亚像素级别角点检测

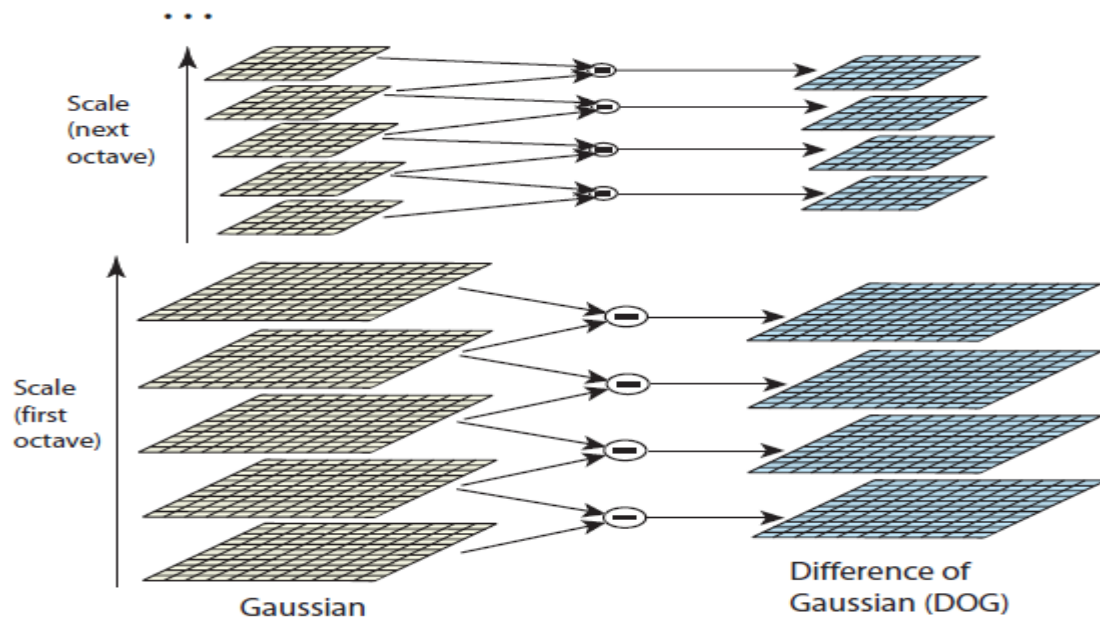
- 插值方法
- 基于图像矩计算
- 曲线拟合方法 - (高斯曲面、多项式、椭圆曲面)

SIFT特征提取

SIFT(**S**cale-**I**nvariant **F**eature **T**ransform)特征检测关键特性：

- 建立尺度空间，寻找极值
- 关键点定位(寻找关键点准确位置与删除弱边缘)
- 关键点方向指定
- 关键点描述子

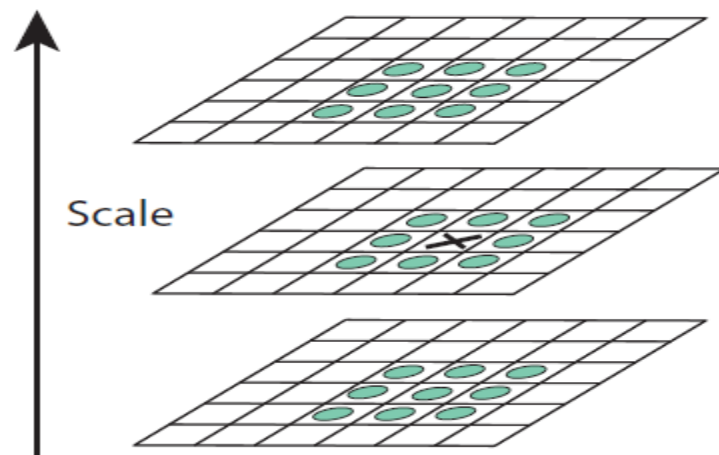
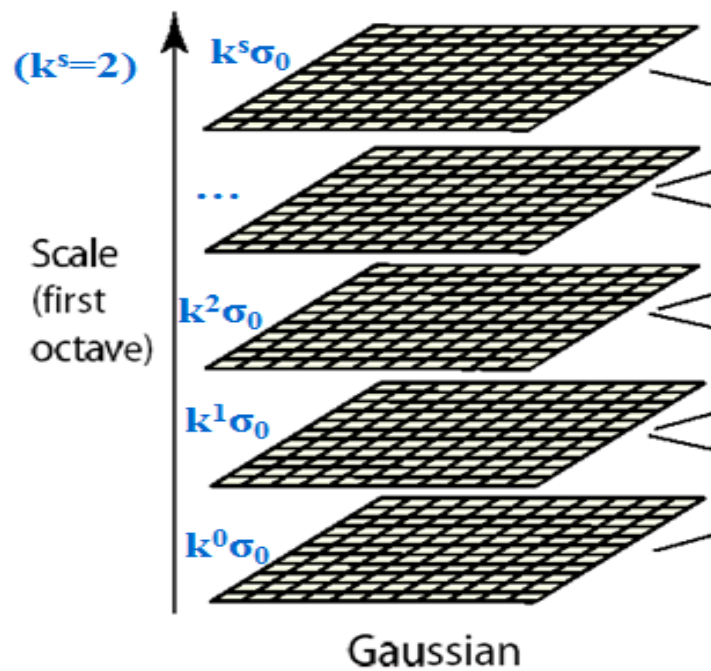
SIFT-金字塔尺度空间



$$\begin{aligned} D(x, y, \sigma) &= (G(x, y, k\sigma) - G(x, y, \sigma)) * I(x, y) \\ &= L(x, y, k\sigma) - L(x, y, \sigma). \end{aligned}$$

工作原理

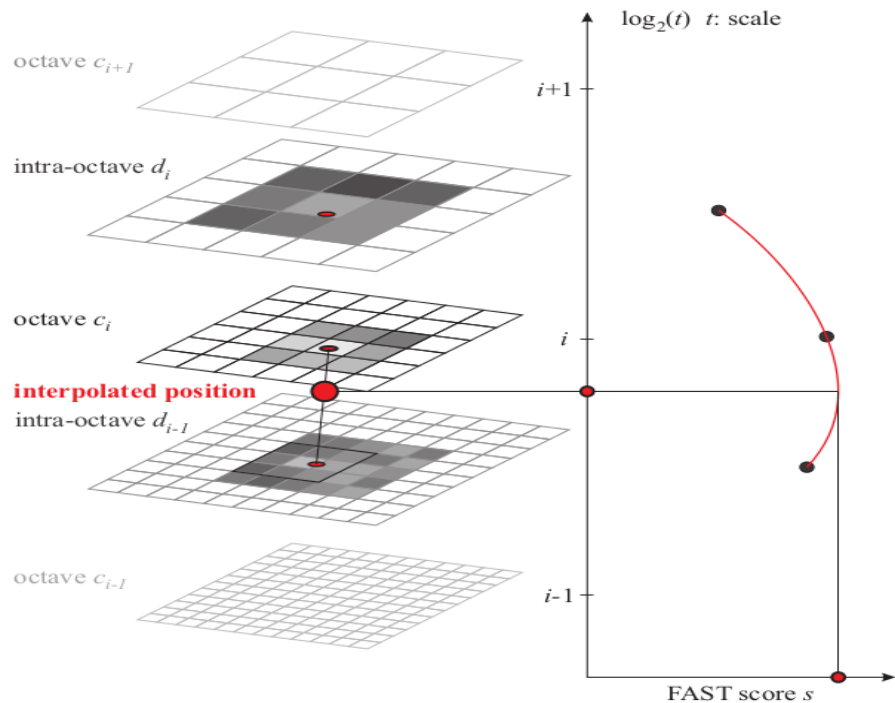
1. 构建图像高斯金字塔，求取DOG，发现最大与最小值在每一级
2. 构建的高斯金字塔，每一层根据sigma的值不同，可以分为几个等级，最少有4个。



关键点定位

- 我们在像素级别获得了极值点的位置，但是更准确的值应该在亚像素位置，如何得到 - 这个过程称为关键点(准确/精准)定位。
- 删除弱边缘- 通过Hessian 矩阵特征值实现，小于阈值自动舍弃

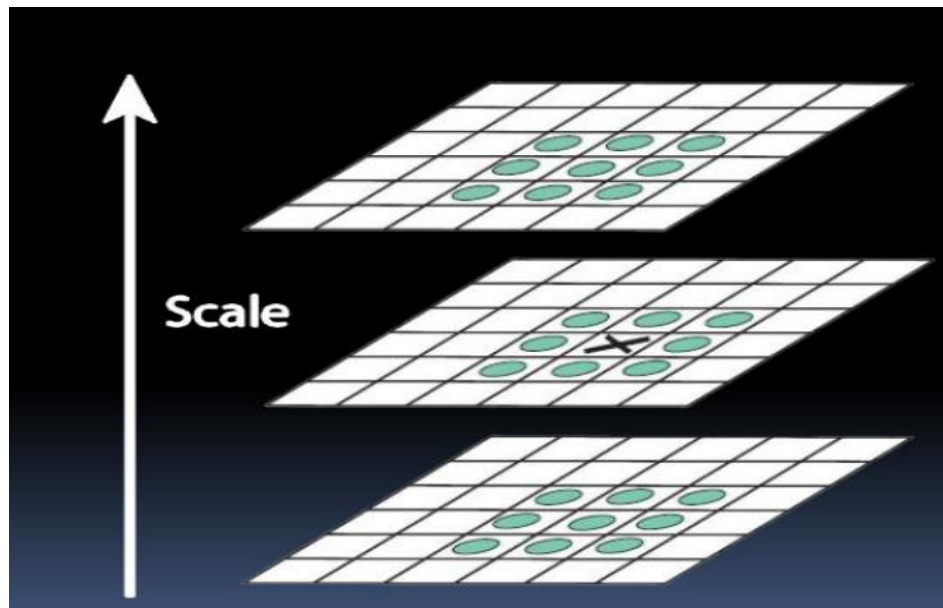
SIFT-关键点定位



$$H(\mathbf{x}) = H + \frac{\partial H^T}{\partial \mathbf{x}} \mathbf{x} + \frac{1}{2} \mathbf{x}^T \frac{\partial^2 H}{\partial \mathbf{x}^2} \mathbf{x}$$

$$\hat{x} = -\frac{\partial^2 H^{-1}}{\partial \mathbf{x}^2} \frac{\partial H}{\partial \mathbf{x}}$$

SIFT-关键点定位



$$\frac{\partial^2 H}{\partial \mathbf{x}^2} = \begin{bmatrix} d_{xx} & d_{yx} & d_{sx} \\ d_{xy} & d_{yy} & d_{sy} \\ d_{xs} & d_{ys} & d_{ss} \end{bmatrix}$$

$$\frac{\partial H}{\partial \mathbf{x}} = \begin{bmatrix} d_x \\ d_y \\ d_s \end{bmatrix} .$$

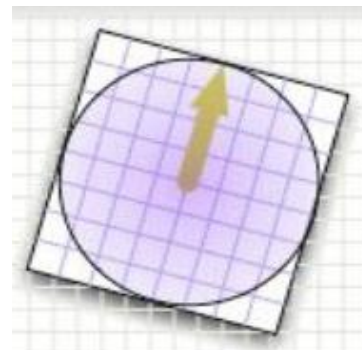
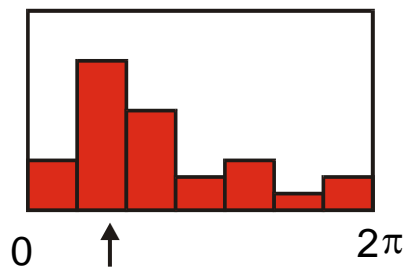
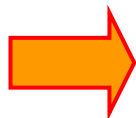
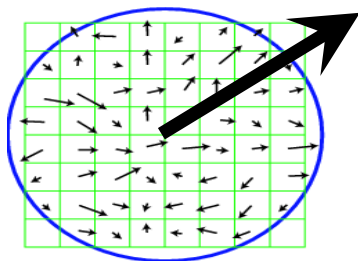
SIFT-角度方向指定

- 求得每一层对应图像的梯度，根据给定的窗口大小
- 计算每个高斯权重， $\sigma = \text{scale} \times 1.5$ ，0~360之间建立36个直方图Bins
- 找最高峰对应的Bin， 大于 $\text{max} \times 80\%$ 的都保留
- 这样就实现了旋转不变性，提高了匹配时候的稳定性。
- 大约有15%的关键点会有多个方向。

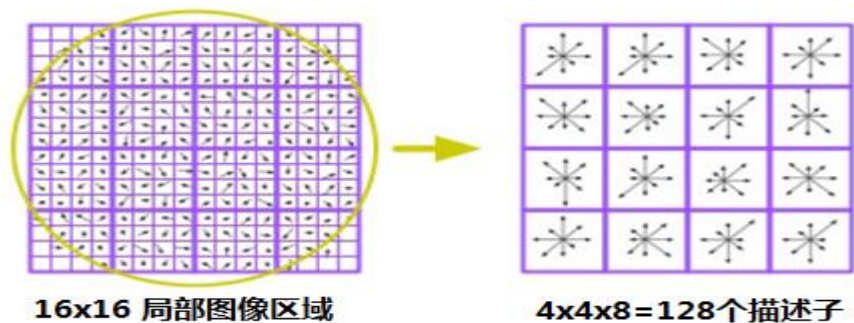
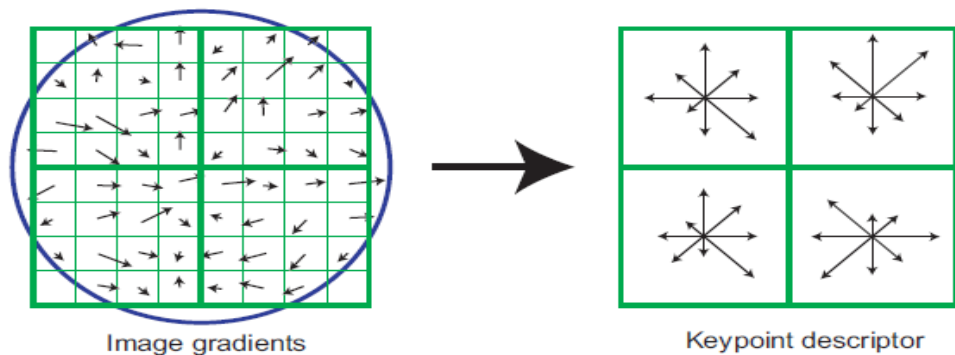
SIFT-角度方向指定

$$m(x, y) = \sqrt{(L(x+1, y) - L(x-1, y))^2 + (L(x, y+1) - L(x, y-1))^2}$$

$$\theta(x, y) = \tan^{-1}((L(x, y+1) - L(x, y-1)) / (L(x+1, y) - L(x-1, y)))$$

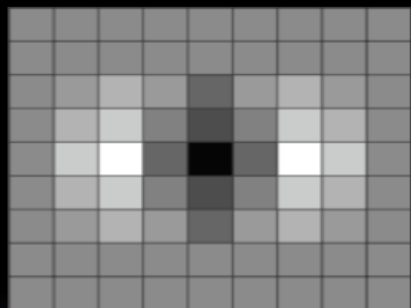
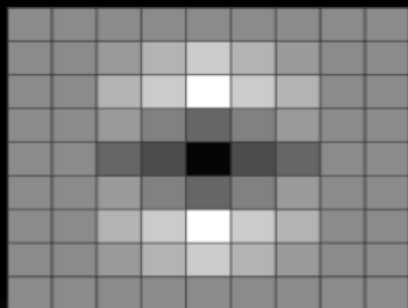


SIFT-局部图像描述子



SIFT-角度方向指定

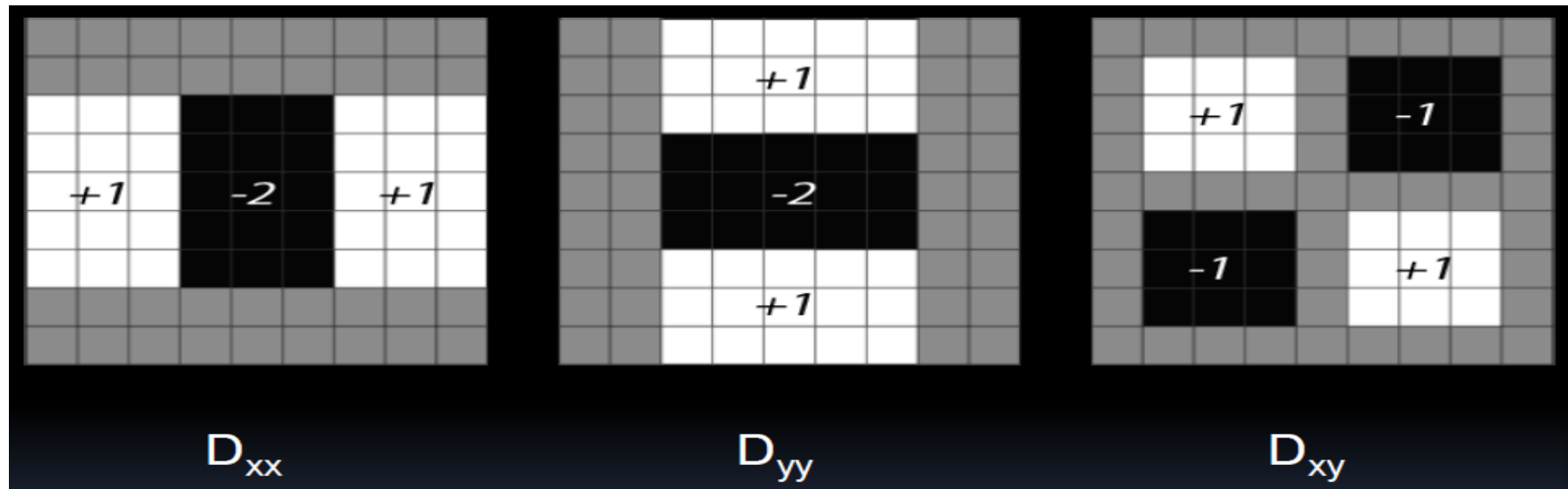
- 选择图像中POI (Points of Interest) Hessian Matrix
- 在不同的尺度空间发现关键点，非最大信号压制
- 发现特征点方法、旋转不变性要求
- 生成特征向量


 L_{xx}

 L_{yy}

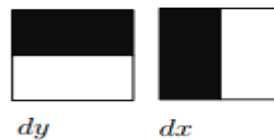
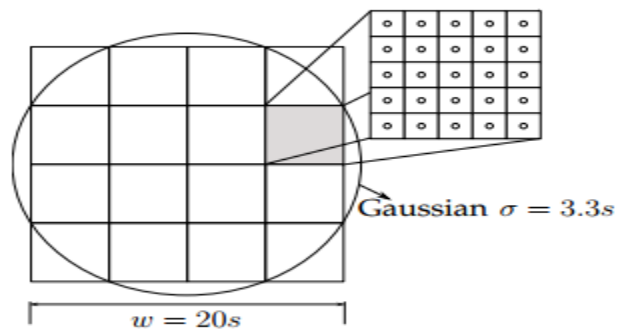
 L_{xy}

$$\begin{bmatrix} \frac{\partial I^2}{\partial x^2} & \frac{\partial I^2}{\partial x \partial y} \\ \frac{\partial I^2}{\partial y \partial x} & \frac{\partial I^2}{\partial y^2} \end{bmatrix}$$

SURF-HAAR特征-积分图计算



SURF-描述子



$$v = \{\sum dx, \sum |dx|, \sum dy, \sum |dy|\}$$

2x2 Haar , 对于5x5的区域得到一个向量V , 总计16个向量

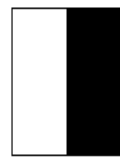
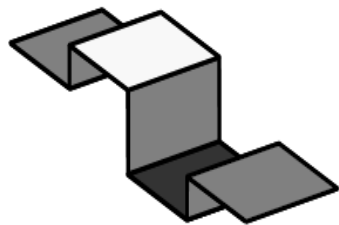
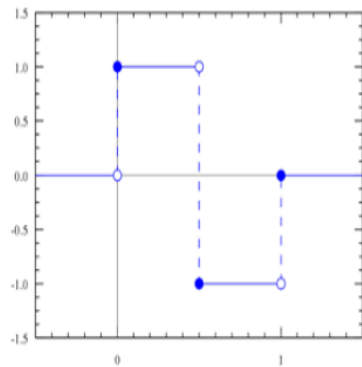
更多图像特征

- HOG特征描述
- LBP、HAAR特征描述
- ORB/BRISK/KAZE

HAAR特征

- 高类间变异性
- 低类内变异性
- 局部强度差
- 不同尺度
- 计算效率高

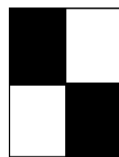
HAAR特征



$\sim \partial x$



$\sim \partial y$



$\sim \partial x \partial y$

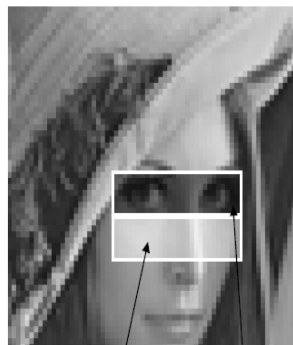
haar小波函数

$$\psi(t) = \begin{cases} 1 & 0 \leq t < 1/2 \\ -1 & 1/2 \leq t < 1 \\ 0 & \text{otherwise} \end{cases}$$

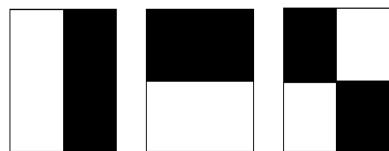
尺度函数

$$\phi(t) = \begin{cases} 1 & 0 \leq t < 1 \\ 0 & \text{otherwise} \end{cases}$$

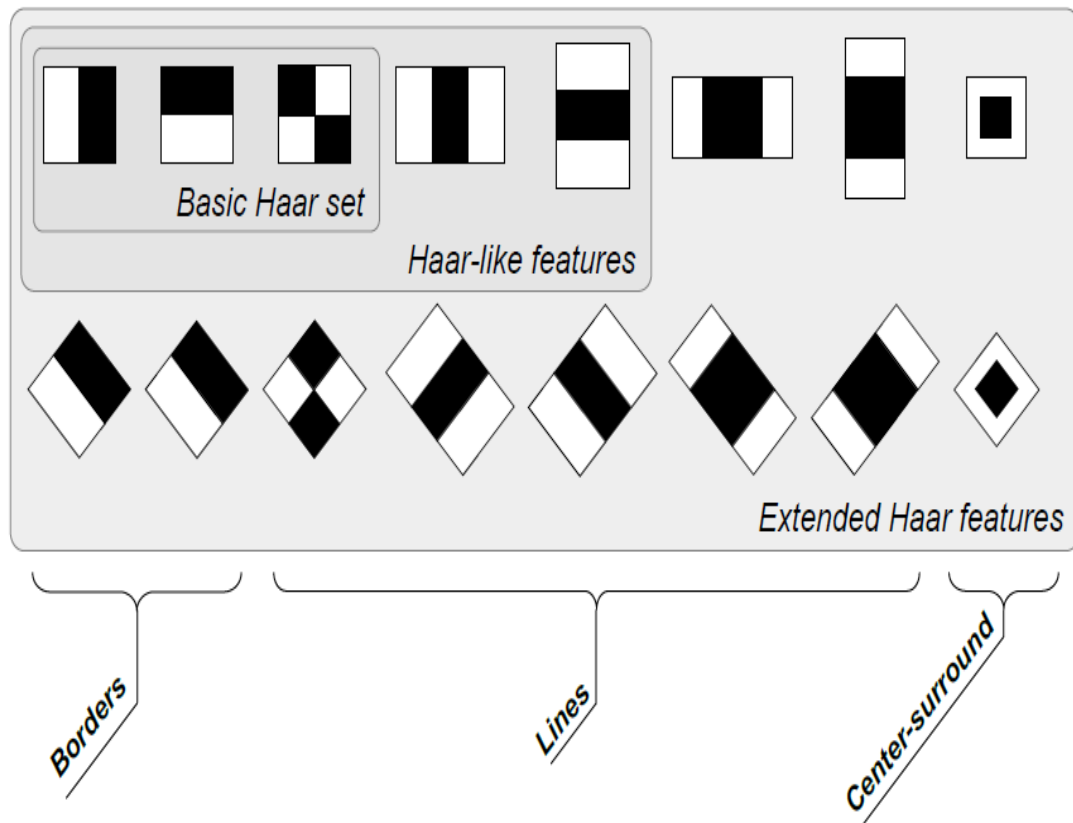
Haar特征介绍 (Haar Like Features)



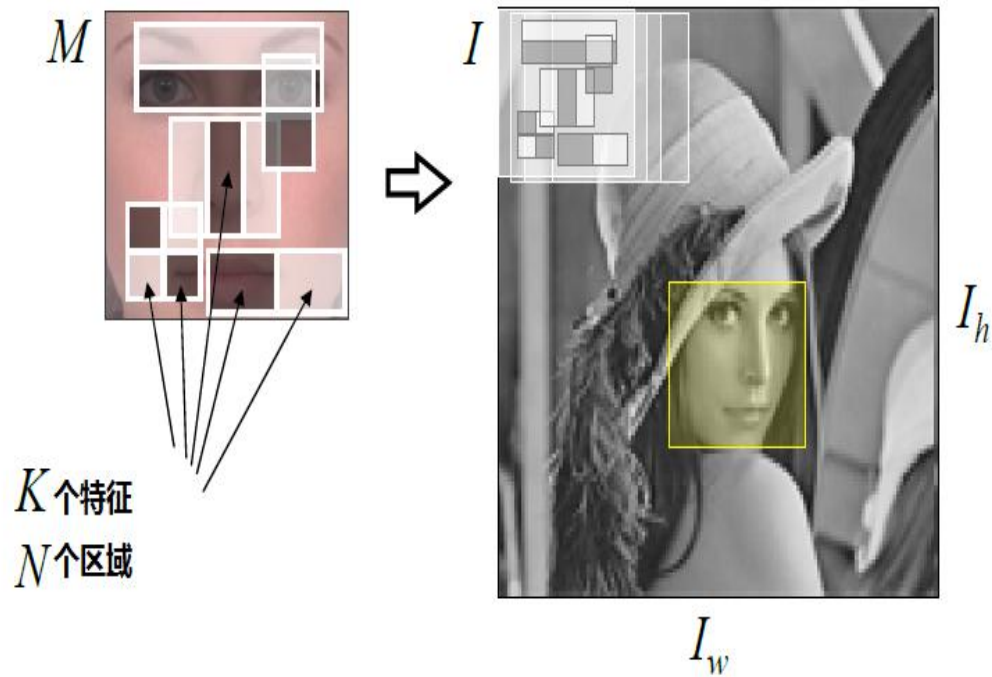
R_{white} R_{black}



$$F_{Haar} = E(R_{white}) - E(R_{black})$$



Haar特征介绍人脸检测

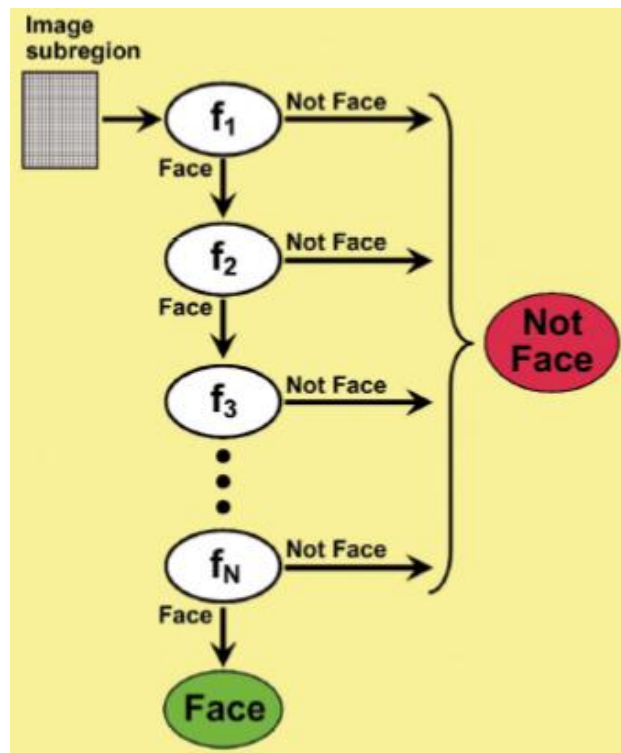
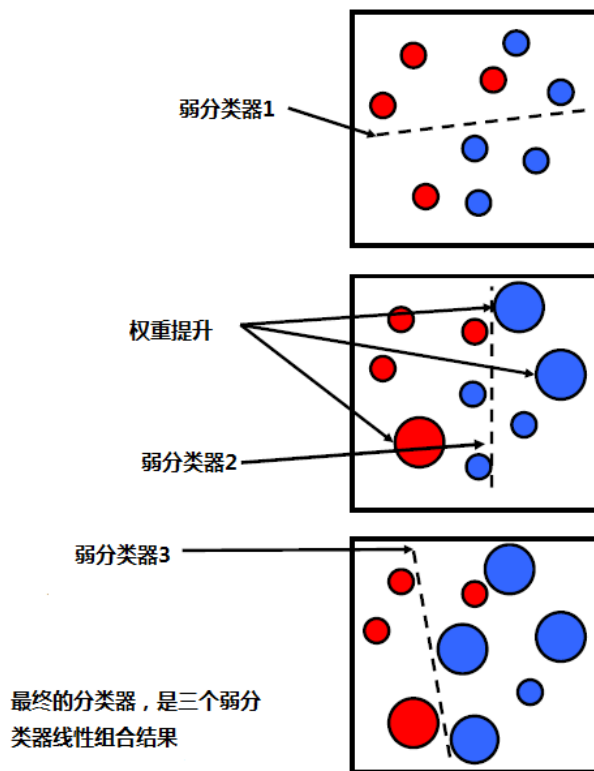


$$F_{Haar} = \left| \frac{E(R_{black}) - E(R_{white})}{w \cdot h \cdot \sqrt{E(R_{\mu})^2 - E(R_{\mu}^2)}} \right|$$

Haar 特征介绍人脸检测

AdaBoost

- 积分图技术
- 级联分类器
- 人脸检测与物体检测
- 高拒绝率低通过率



HAAR特征

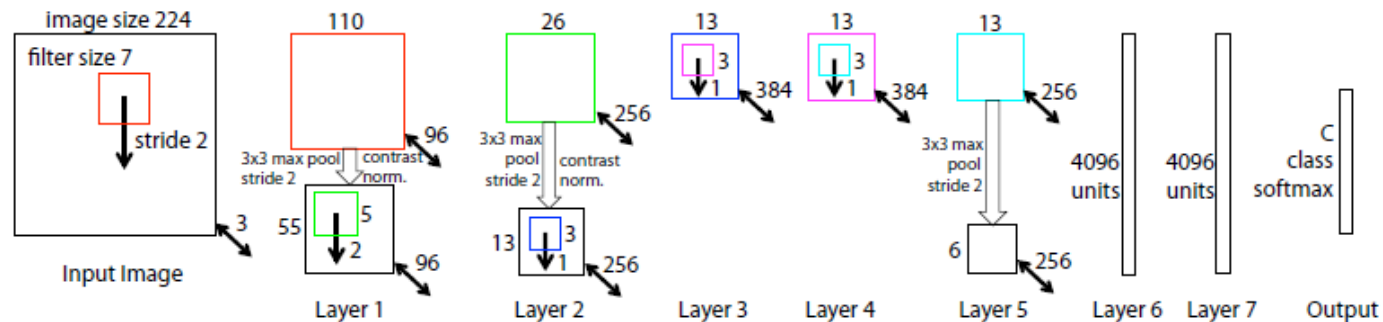
- 高类间变异性
- 低类内变异性
- 局部强度差
- 不同尺度
- 计算效率高

人工提取特征的局限性

- 基于先验模型与数学推导
- 无法描述一些数学模型无法建模的特征
- 人的计算能力远不如计算机

自动特征提取

- 卷积神经网络CNN - 监督学习
- 自编码学习 - 无监督学习





卷积层自动特征提取

迁移学习

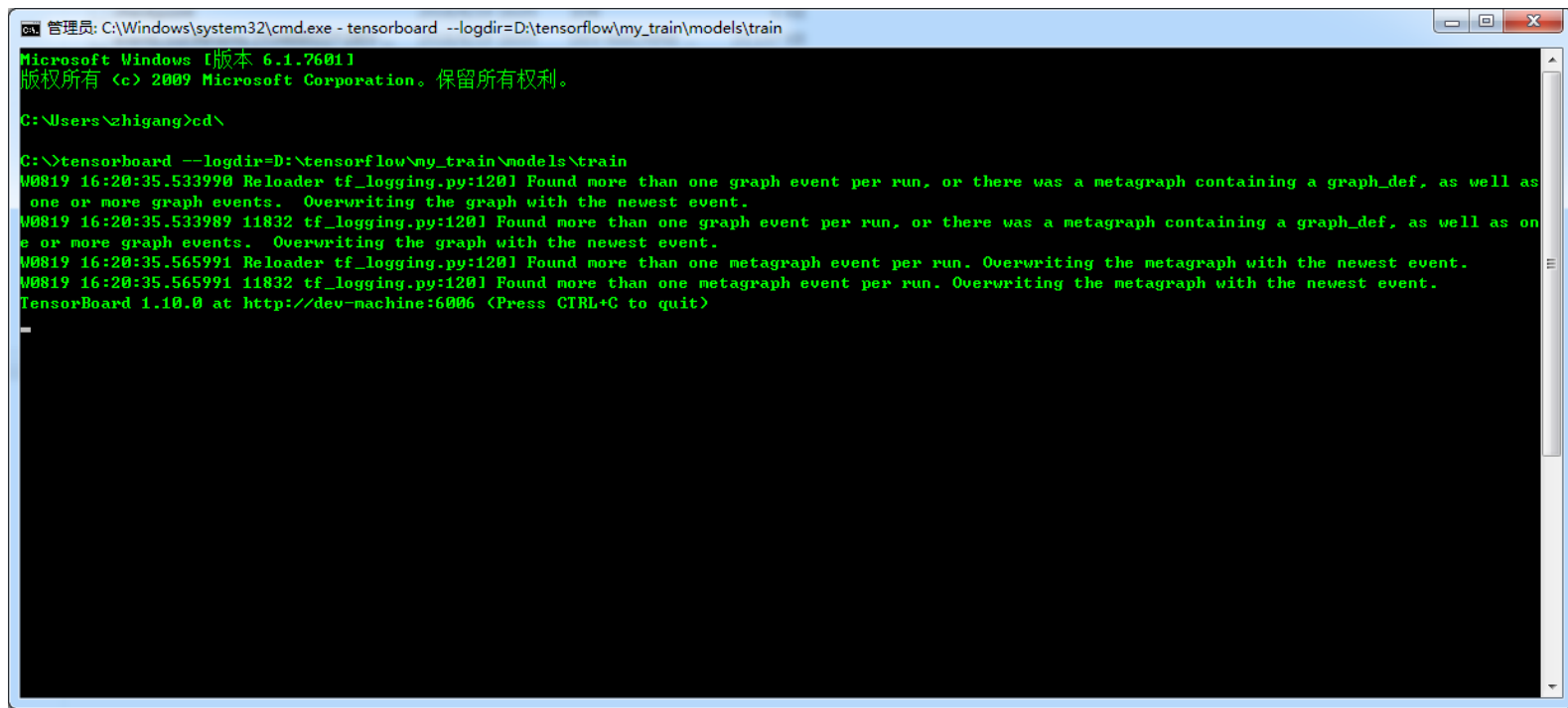
- 基于原有训练好的模型
- Finetuning原有模型
- 大大提高了训练速度

实验 - 基于卷积神经网络的图像识别

- 下载安装 - https://github.com/tensorflow/models/tree/master/research/object_detection
- `pip install git+https://github.com/philferriere/cocoapi.git#subdirectory=PythonAPI`
- 下载数据-<http://www.robots.ox.ac.uk/~vgg/data/pets/data/images.tar.gz>
- 下载数据-<http://www.robots.ox.ac.uk/~vgg/data/pets/data/annotations.tar.gz>
- http://download.tensorflow.org/models/object_detection/ssd_mobilenet_v1_coco_2018_01_28.tar.gz

```
pip install --user Cython
pip install --user contextlib2
pip install --user pillow
pip install --user lxml
pip install --user jupyter
pip install --user matplotlib
```

实验 - 基于卷积神经网络的图像识别

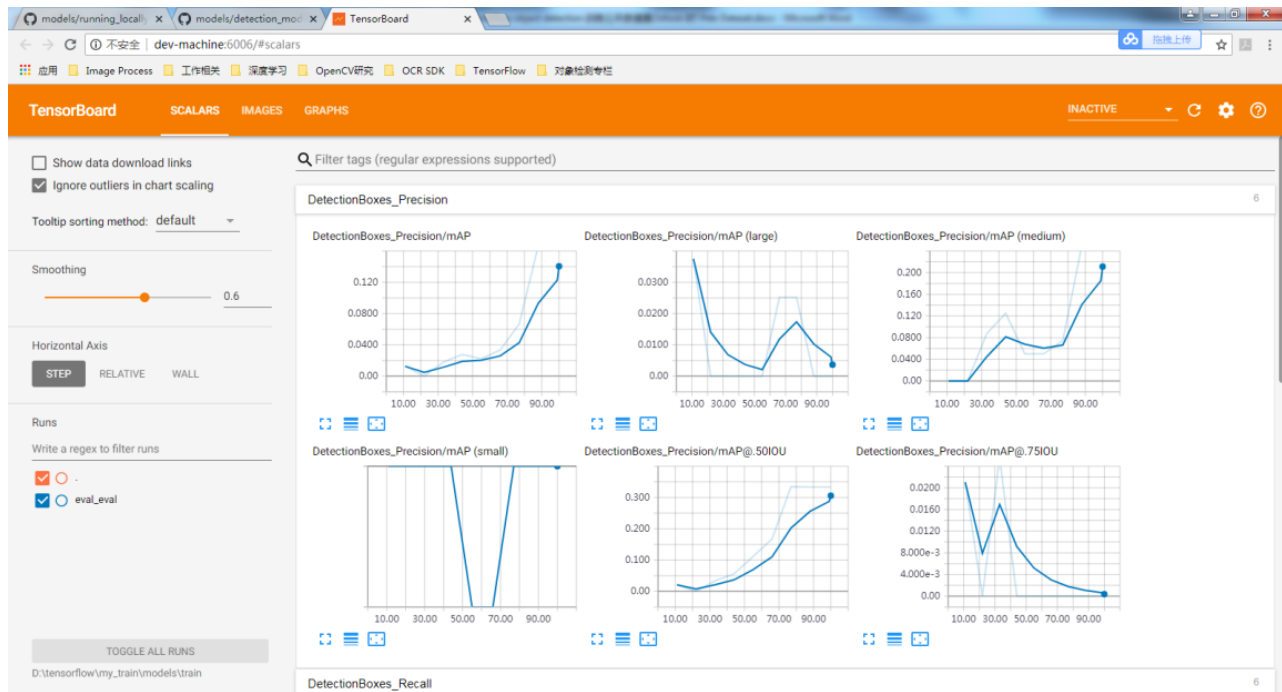


```
管理员: C:\Windows\system32\cmd.exe - tensorboard --logdir=D:\tensorflow\my_train\models\train
Microsoft Windows [版本 6.1.7601]
版权所有 (c) 2009 Microsoft Corporation. 保留所有权利。

C:\Users\zhigang>cd\

C:\>tensorboard --logdir=D:\tensorflow\my_train\models\train
W0819 16:20:35.533990 Reloader tf_logging.py:1201 Found more than one graph event per run, or there was a metagraph containing a graph_def, as well as
one or more graph events. Overwriting the graph with the newest event.
W0819 16:20:35.533989 11832 tf_logging.py:1201 Found more than one graph event per run, or there was a metagraph containing a graph_def, as well as on
e or more graph events. Overwriting the graph with the newest event.
W0819 16:20:35.565991 Reloader tf_logging.py:1201 Found more than one metagraph event per run. Overwriting the metagraph with the newest event.
W0819 16:20:35.565991 11832 tf_logging.py:1201 Found more than one metagraph event per run. Overwriting the metagraph with the newest event.
TensorBoard 1.10.0 at http://dev-machine:6006 (Press CTRL+C to quit)
```

实验 - 基于卷积神经网络的图像识别



课程问题咨询微信





Thank You !